

$\geq 0,45$ , давление водорода ниже критического, а также применение в синтезе мелкодисперсного титана и таблеток с большими диаметрами и плотностями. В табл. 5 приведены характеристики некоторых полученных карбогидридов.

Поступила в редакцию  
8/V 1980

#### ЛИТЕРАТУРА

1. А. Г. Мержанов, И. П. Боровинская. Докл. АН СССР, 1972, **204**, 2.
2. А. Г. Мержанов, В. М. Шкиро, И. П. Боровинская. Авт. свид. № 255221, Бюл. изобр., 1971, 10.
3. А. Г. Мержанов, И. П. Боровинская. Самораспространяющийся высокотемпературный синтез тугоплавких неорганических соединений. Отчет ОИХФ АН СССР, Черноголовка, 1970.
4. А. Б. Авакян, А. Р. Баграмян и др.— В сб.: Процессы горения в химической технологии и металлургии. Черноголовка, 1975.
5. А. Г. Акопян, С. К. Долуханян, И. П. Боровинская. ФГВ, 1978, **14**, 3.
6. А. Р. Саркисян, С. К. Долуханян. Тез. II Всес. конф. по технологическому горению. Черноголовка, 1978.
7. В. М. Шкиро, И. П. Боровинская.— В сб.: Процессы горения в химической технологии и металлургии. Черноголовка, 1975.
8. С. К. Долуханян, М. Д. Нерсесян и др. Докл. АН СССР, 1976, **231**, 3.
9. Н. П. Бахман, А. Ф. Беляев. Горение конденсированных систем. М.: Наука, 1967.
10. В. М. Маслов, И. П. Боровинская, А. Г. Мержанов. ФГВ, 1978, **14**, 5.
11. Г. В. Самсонов, М. М. Антонова, В. В. Морозов. Порошковая металлургия, 1970, 4.

---

#### ЭКСПЕРИМЕНТАЛЬНОЕ ИССЛЕДОВАНИЕ ГОРЕНИЯ ВЫСОКОТЕМПЕРАТУРНЫХ СТРУЙ ВОДОРОДА В ВОЗДУХЕ

Ю. И. Данилов, П. П. Кузнецов, С. А. Клевцур  
(Москва)

Исследование горения струй нагретого водорода интересно как в плане уточнения представлений о влиянии предпламенных химических реакций на механизм распространения пламени [1], так и в прикладном [2]. Задача данной работы — выяснить размеры факелов горения и определяющие параметры процессов горения высокотемпературных ( $300 \leq T \leq 1700$  К) струй водорода при больших скоростях истечения ( $800 \leq Re \leq 6000$ ).

Экспериментальная установка состояла из системы подачи водорода, электрического нагревателя и открытой рабочей части. Водород пропускался через нагреватель, выполненный в виде трубы, нагреваемой электрическим током, и истекал в воздух через сопло диаметром 1—3 мм. Основная часть экспериментов проведена на установке с горизонтальным направлением оси сопла, контрольные опыты с турбулентными пламенами — на установке с вертикальным направлением оси сопла. В обоих

случаях число Фруда струи  $Fr = u^2/(dg) \geq 10^6$ , отличий в размерах факелов в зависимости от направления оси сопла не наблюдалось, что совпадает с результатами [3].

В ходе опытов определялись расход водорода, давление и температура водорода перед истечением и характерные размеры светящейся части факела горения. Точность определения расхода газа составляла 10%, давления 2%, температуры  $\pm 50$  К, линейных размеров факела 10%. Пуск установки начинался подачей водорода с малым расходом, создавшим на выходе из сопла ламинарный факел. Затем включался электрический нагреватель. В течение опыта постадийно увеличивались мощность нагревателя и расход водорода.

В опытах с ламинарными струями диаметром 2 мм при  $Re = 450 \div 1800$  получено, что с ростом  $T$  от 500 до 800 К длина ламинарного факела практически от нее не зависит. При  $T > 860$  К длина ламинарного факела уменьшается, а при  $T > 900$  К начинается турбулизация факела, которая полностью развивается при  $T = 950 \div 1150$  К.

На рис. 1 представлены схемы факела и результаты измерений размеров светящейся части факела горения струи нагретого водорода, выполненных в ходе одного опыта при повышении температуры водорода и практически постоянном числе Рейнольдса. В ходе опыта при  $T = 800 \div 900$  К возникали крупномасштабные продольные пульсации ко-

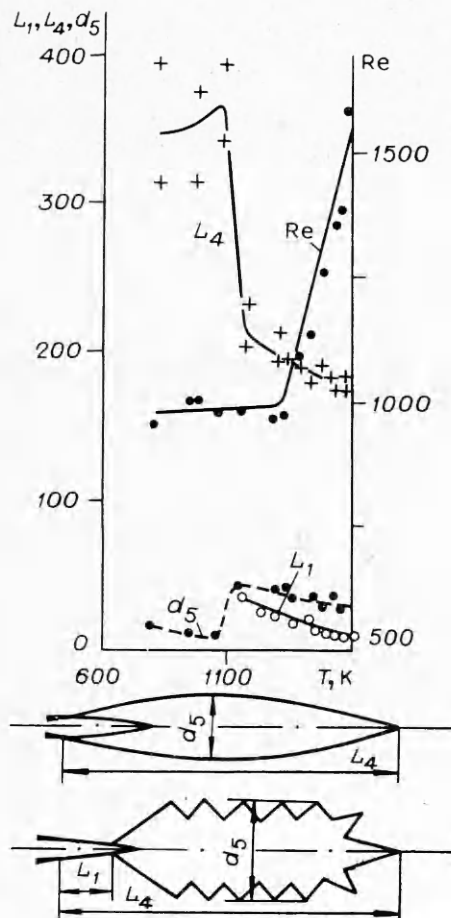


Рис. 1.

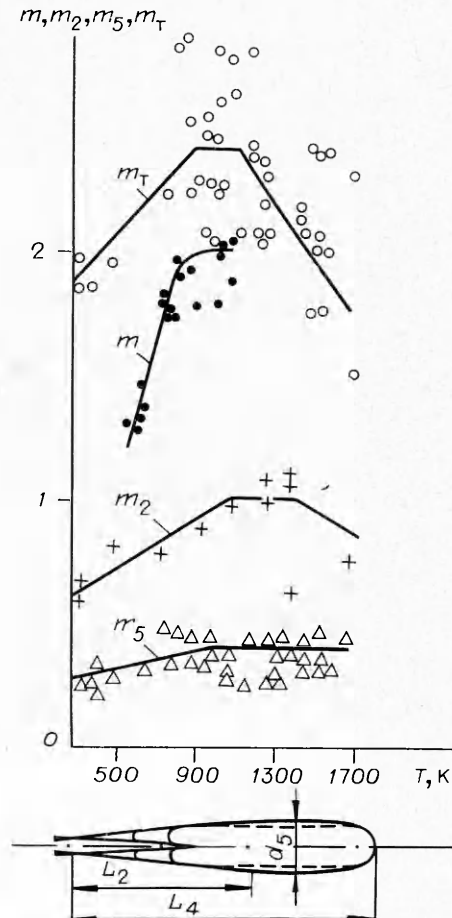


Рис. 2.

нечной части факела. При  $T \geq 950$  К на конце факела появляется зона поперечных колебаний, сопровождающихся образованием светящихся турбулентных молей с размерами порядка диаметра невозмущенной части факела в данном сечении. С дальнейшим ростом температуры водорода диаметр турбулентной части факела увеличивается, а граница начала турбулентной зоны приближается к основанию факела и при  $T = 1100 \div 1150$  К охватывает практически всю длину факела, за исключением небольшого начального участка  $L_1$ , на котором яркосветящегося фронта пламени нет, а наблюдается слабое голубое свечение по всему объему ламинарного пограничного слоя.

На начальном участке струи в этом случае образуется область, где нет фронта пламени и существует струйный пограничный слой переменного состава по толщине. С повышением температуры водорода в той части пограничного слоя, где присутствует водородно-воздушная смесь с избытком водорода, температура смеси возрастает, по-видимому, до уровня, при котором создаются условия для протекания предпламенных химических реакций.

Переход от предпламенных реакций к реакциям образования конечных продуктов горения вызывает изменение объема газовой смеси, что приводит к нарушению структуры потока и образованию турбулентных молей. Горение происходит по всему объему такого моля, но, поскольку состав его нестехиометрический, для завершения горения требуется некоторое расстояние, на котором происходит смещение моля с необходимым количеством воздуха. Переход от ламинарной части факела к турбулентной похож по форме на переход от ламинарного участка к турбулентному при потере устойчивости течения негорячих струй [4].

В диапазоне температур водорода  $1150 < T \leq 1350$  К форма факела горения меняется незначительно, размеры ламинарных турбулизированных факелов практически совпадают с размерами турбулентных факелов, имеющих равный диаметр сопла и одинаковую статическую температуру. Форма турбулентного факела струи нагретого водорода показана на рис. 2. В турбулентном факеле горение также начинается на некотором расстоянии от сопла (оторванный факел), но в отличие от ламинарной струи начальный участок здесь турбулентный.

Светящаяся зона возникает в начальном участке струи на некотором расстоянии от сопла и от установленного фронта пламени. Наблюдавшиеся в зоне горения турбулентного факела горящие моли имели меньшие размеры, чем аналогичные моли в зоне горения турбулизированных факелов ламинарных струй.

Размеры светящейся части факелов горения — полная длина  $L_1$ , наибольший диаметр  $d_5$  — обработаны с помощью зависимостей, описывающих изменение расхода вещества окружающей среды вдоль оси ламинарной [5] и турбулентной [6] изометрических струй. Конец факела соответствует достижению стехиометрического состава смеси на оси факела [7]. Вывод этих зависимостей аналогичен приведенному в работе [3]. В связи с тем, что струя водорода дозвуковая ( $p_a = p_b$ , число  $Fr \geq 10^6$ ), подъемные силы в факеле не учитывались.

В отличие от работы [3], в данном случае, аналогично [7], принято, что на оси струи состав смеси стехиометрический, а относительное превышение общего количества воздуха в конечном сечении факела над стехиометрическим охарактеризовано коэффициентом  $m$  или  $m_t$  для ламинарного и турбулентного факелов соответственно. Из теории струй следует, что в случае негорячих струй величина  $m$  или  $m_t$  определяется количеством воздуха, подмешавшегося в струе на ее начальном участке, и находится в интервале  $1 < m \leq 3$ . Как показано ниже, выведенные зависимости удовлетворяют ограничениям, накладываемым теорией струй на величины  $m$  и  $m_t$ .

Длина светящейся части ламинарного факела определяется из выражения

$$L_4/d = (\text{Re}/32)(\mu/\mu_r)[m(1 + L_0) - 1](\rho/\rho_r), \quad (1)$$

где  $(\rho/\rho_r) = (T_r/T)(M/M_r)$  — отношение плотностей водорода и продуктов горения;  $T$ ,  $M$ ,  $\mu$ ,  $T_r$ ,  $M_r$ ,  $\mu_r$  — температура, молекулярный вес и вязкость водорода и продуктов горения;  $\text{Re}$ ,  $d$  — число Рейнольдса и диаметр струи водорода;  $L$  — стехиометрическое отношение масс воздуха и водорода;  $m$  — экспериментальный коэффициент.

Размеры светящейся части турбулентного (см. рис. 2) и турбулизированного ламинарного факелов (см. рис. 1) описываются следующими соотношениями:

$$(L_4/d) = m_t F, \quad (L_2/d) = m_2 F, \quad (D_5/d) = m_5 F, \quad (2)$$

где  $F = 3,12(1 + L_0)\sqrt{\rho/\rho_r} = 31,5\sqrt{T_r/T} = 31,5\sqrt{(2400 + 0,277 T_0)/T}$ ;  $T_0$  — температура торможения струи водорода;  $m_t$ ,  $m_2$ ,  $m_5$  — экспериментальные коэффициенты, значения которых приведены на рис. 2 в зависимости от температуры водорода. Они получены в результате обработки экспериментальных данных по размерам факелов горения струй нагретого водорода.

Из экспериментов следует зависимость формы и размеров факелов горения струй водорода в воздухе не только от числа  $\text{Re}$ , но и непосредственно от температуры водорода (см. рис. 1). Это можно наблюдать по изменению величин  $m$  и  $m_t$  от температуры водорода (см. рис. 2). По-видимому, эта зависимость отражает существенное влияние скоростей химических реакций горения, особенно на начальном участке струи, на структуру течения в факеле, в частности на переход ламинарного факела в турбулизированный.

Интересно также прямое сопоставление размеров факелов горения по данным настоящей работы с известными ранее результатами, например с приведенными в работах [3, 8]. В [8] предложена зависимость длины факела горения струй горючих газов от свойств горючего. С целью сопоставления экспериментальных данных и расчетов по формуле [8] последняя применительно к водороду приведена к виду, аналогичному формуле (2)

$$(L_4/d) = 53,5\sqrt{T_r/T}. \quad (3)$$

Величина числового коэффициента в формуле (3) при сопоставлении ее с (2) соответствует  $m_t = 1,7$ , тогда как в условиях опытов получено  $m_t = 1,8 \div 2,4$ .

В работе [3] указано, что результаты расчетов совпадают с данными расчетов по формуле [8], если принять средний по конечному сечению факела коэффициент избытка воздуха  $\alpha = 2$ .

Таким образом, в проведенных экспериментах при нормальной температуре водорода длина факела практически совпадает с длиной, рассчитанной по формуле [8], и с длиной, рассчитанной по формуле [3] при условии  $\alpha = 2$  в конечном сечении факела. С повышением температуры водорода проведенные опыты показывают относительное увеличение длины факела и коэффициента  $m_t$ .

В связи с тем, что изменение названных коэффициентов отражает существенное влияние скоростей химических реакций, зависящих от температуры водорода, на структуру течения в факеле, можно ожидать, что величины коэффициентов  $m_t$ ,  $m$ ,  $m_2$  и  $m_5$  могут изменяться также в зависимости от диаметра и скорости истечения струи при увеличении последних по сравнению с условиями проведенных опытов.

Поступила в редакцию  
17/VI 1980

## ЛИТЕРАТУРА

1. К. И. Щелкин, Я. К. Трошпин. Газодинамика горения. М.: Изд-во АН СССР, 1963.
2. Либби. Ж. амер. ракетного об-ва (русский перевод), 1962, 32, 3.
3. В. К. Баев, П. П. Кузнедов и др. ФГБ, 1974, 10, 4.
4. Г. И. Абрамович. В сб.: Тurbулентные течения. М.: Наука, 1970.
5. Бай Ши-И. Теория струй вязкой жидкости. М.: Наука, 1965.
6. Л. А. Вулис, В. П. Карапов. Теория струй вязкой жидкости. М.: Наука, 1965.
7. Л. А. Вулис, Ш. А. Ершин, Л. П. Ярип. Основы теории газового факела. Л.: Энергия, 1968.
8. W. R. Haworth, D. S. Weddell, H. C. Hottel. Third Symposium of Combustion and Flame and Explosion Phenomena, Baltimore, 1949.

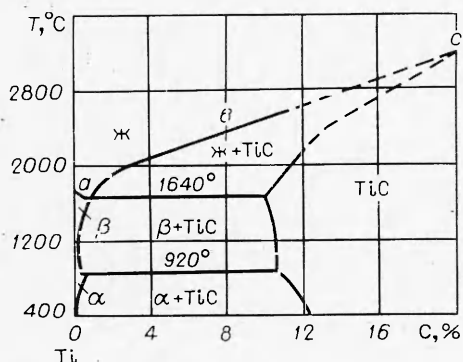
## О МЕХАНИЗМЕ ВЗАИМОДЕЙСТВИЯ ТИТАНА С УГЛЕРОДОМ В ВОЛНЕ ГОРЕНИЯ

*A. И. Кирдяшкин, Ю. М. Максимов, Е. А. Некрасов*

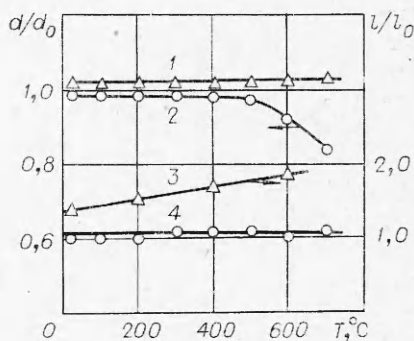
(Томск)

Существующие представления о механизме горения гетерогенных безгазовых систем, как правило, выделяют лимитирующую роль стадии смешения компонентов в волне горения [1]. Наиболее вероятными путями транспорта компонентов в таких системах к поверхностям раздела фаз (на которых происходит тепловыделение) могут быть процессы взаимной диффузии реагентов в твердом и жидком состоянии, а также процессы фильтрации (капиллярного растекания) жидких компонентов по участкам среды, занятых другим тугоплавким реагентом [1—3]. Реализация того или иного механизма определяется физико-химическими параметрами процесса, агрегатным состоянием компонентов и продуктов реакции в волне горения, а также структурой гетерогенной среды.

Настоящая работа посвящена экспериментальному изучению закономерностей горения смесей мелкодисперсного титана с диаметром частиц  $r_{Ti} \sim 10^{-2}$  см с углеродом. При таком  $r_{Ti}$  стадия капиллярного растекания в соответствии с оценками [3] не должна оказывать заметного влияния на процесс взаимодействия.



*Рис. 1. Диаграмма состояния системы титан — углерод [6].*



*Рис. 2. Зависимость относительного удлинения и изменения диаметра горевших образцов от начальной температуры.*

*1, 3 —  $Ti + 20\% C$ ; 2, 4 —  $Ti + 11\% C$ .*